

بررسی فرایند حذف سیانید از آب سد باطله کارخانه فرآوری طلای آقدره – تکاب با استفاده از کانی تالک

عبدالله سمیعی بیرق*

تهران، جهاد دانشگاهی واحد صنعتی امیرکبیر، گروه محیط زیست معدنی

احمد خدادادی، محمود عبدالله

تهران، دانشگاه تربیت مدرس، دانشکده فنی و مهندسی، گروه مهندسی فراوری مواد معدنی

محمد مشکینی

تهران، جهاد دانشگاهی واحد صنعتی امیرکبیر، گروه محیط زیست معدنی

چکیده: سدیم سیانید به عنوان یک ماده بسیار سمی و در عین حال با ارزش در استخراج طلا و نقره به کار می‌رود. مقدار و اندازه جاذب، زمان جذب، pH و دمای محلول از پارامترهای مهم در جذب سیانید می‌باشند. در این پژوهش نوع تالک در دانه‌بندی‌های ۴۵–۳۰۰ میکرون (سفید)، (۳۰۰–۱۰۰) و (۳۰۰–۵۰۰) میکرون (صنعتی) مورد استفاده قرار گرفت. میزان بهینه تالک برای جذب سیانید در اندازه ۴۵ (۳۰۰–۱۰۰) و (۳۰۰–۵۰۰) میکرون به ترتیب ۲۰، ۲۱ و ۳۶ گرم در لیتر برآورد شد. pH بهینه برای هر سه اندازه حدود ۹ تا ۹,۵ بود. زمان بهینه برای اندازه‌های ۴۵ (۳۰۰–۱۰۰) و (۳۰۰–۵۰۰) میکرون به ترتیب برابر در ۵۰، ۳۰ و ۴۰ دقیقه به دست آمد. سیستمک جذب در اندازه‌های ۴۵ (۳۰۰–۵۰۰) میکرون از معادله درجه اول لا جرجن و برای اندازه‌های (۳۰۰–۱۰۰) میکرون به طور کامل از مدل درجه دوم پیروی می‌کند. آغشته کردن تالک با محلول آلومنیم کلرید باعث افزایش سطح مثبت آن شده و بازده جذب سیانید را نیز افزایش می‌دهد. بیشینه جذب در هر سه اندازه‌های بیشتر از مدل فروزنالیچ پیروی می‌کند هر چند که میزان ضریب تبیین برای مدل لانگک مایر نیز برای ابعاد درشت زیاد است. درصد جذب سیانید در ابعاد ۴۵ (۳۰۰–۵۰۰) میکرون نسبت به اندازه‌های (۳۰۰–۱۰۰) میکرون بیشتر و نسبت به اندازه‌های (۳۰۰–۱۰۰) میکرون کمتر می‌باشد.

واژه‌های کلیدی: سیانید، تالک، فرایند جذب، هم‌دهمهای جذب.

KEY WORDS: Cyanide, Talc, Adsorption, Adsorption Isotherms.

مقدمه

کارخانه فرآوری طلای آقدره در ۳۲ کیلومتری شمال مطالعه‌های زمین شناسی اقتصادی و عملیات اکشافی کانسار تأمین کننده شهرستان تکاب استان آذربایجان غربی واقع شده است. بر اساس

+E-mail: a_samiee2003@yahoo.com

*عهده دار مکاتبات

صرفهای آن در صنعت معدنکاری و به منظور بازیابی فلزهای گرانبهای مانند طلا و نقره می‌باشد [۵].

حذف و خنثی سازی سیانید در آب باطله این صنایع و صنایعی که به هر شکلی با آن سرو کار دارند از موارد بسیار مهم در جلوگیری از آلوده شدن محیط زیست به شمار می‌رود. روش‌های بسیاری برای کاهش و از بین بردن سیانید در پساب‌ها وجود دارد که می‌توان به روش‌های زیستی، اکسایش شیمیایی با استفاده از موادی مانند آب اکسیژنه، کاز ازون، هیپو کلریت‌های سدیم و کلسیم، استفاده از پلی سولفیدها، تعویض یون با استفاده از رزین‌های تبادل یونی و جذب آن با استفاده از کانی‌های مانند ایلمینیت، زئولیت و مواد جاذب مانند کربن فعال اشاره کرد [۶، ۷].

فرمول شیمیایی تالک به صورت $\text{Mg}_3(\text{Si}_4\text{O}_{10})(\text{OH})_2$ بوده و ترکیب خالص این کانی دارای ۶۳٪۳۶ درصد سیلیس و ۳۱٪۹۸ درصد منیزیم اکسید و ۴٪۷۵ درصد آب می‌باشد. تالک یک کانی منیزیم سیلیکات آبدار و بیشتر دارای ناخالصی‌های آهن، آلومینیم اکسید (Al_2O_3)، آهک (CaO)، کربن، کوارتز و منگنز اکسید می‌باشد [۸، ۹].

تالک به دلیل دارا بودن خاصیت ناهمگنی سطح آن، برای حذف آنیون‌ها، کاتیون‌ها و دیگر مواد آلوده کننده آب و خاک استفاده می‌شود. پژوهش‌های زیادی برای حذف فلزهای سنگین و سمی مانند جیوه، آرسنیک، سرب، روی و دیگر مواد آلوده کننده خاک به وسیله تالک در کشاورزی و دیگر صنایع انجام گرفته است. پساب خروجی از صنایع نساجی که دارای مقدارهای زیادی از مواد آلی شیمیایی آنیونی و کاتیونی می‌باشد به وسیله تالک و کانی‌های هم گروه آن بازیابی و خنثی شده‌اند [۱۰]. تالک از کانی‌هایی است که هر دو خاصیت آبرانی و آب‌پذیری را از خود نشان می‌دهد. مطالعه‌های انجام گرفته نشان می‌دهد که برای مشخص کردن میزان سطح آب رانی و آب‌پذیری این نوع کانی‌ها به ترتیب از مواد جاذب آنیونی و کاتیونی استفاده شده است. این سطح‌ها در هنگام آسیا شدن و دانه‌بندی تالک که باعث شکستگی آن می‌شود به وجود می‌آیند. بررسی‌ها نشان می‌دهد کانی‌هایی که این دو خاصیت را دارند برای جذب کاتیون‌ها و آنیون‌ها مورد استفاده قرار گرفته‌اند به طوری که بسیاری از رنگدانه‌های آنیونی، پلی‌ساقاریدها، فسفات‌ها که بار منفی دارند به خوبی بر روی این گونه مواد جذب شده‌اند [۱۱، ۱۲، ۱۴]. از آنجا که یون سیانید بار منفی دارد و با توجه به اینکه تالک بار سطحی منفی و مثبت دارد از آن برای جذب سیانید استفاده شد.

و منیزیم این کانسارت تشکیل شده است. عیار طلا در این کانسنتر در حدود ۰.۳ ppm و در فراورده‌ی کیک فیلتر شده ۱/۵ درصد می‌باشد. مهم‌ترین روش برای استخراج طلا از کانسنتر، استفاده از روش سیانوراسیون است. در این کارخانه عملیات لیچینگ یا انحلال طلای کانسنتر توسط فرایند سیانوراسیون انجام می‌گیرد؛ در طی این مرحله طلا حل شده و به صورت محلول درمی‌آید. کمپلکس‌های محلول طلا بعد از مرحله لیچینگ در داخل ستون‌های جذب، بر روی کربن فعال جذب می‌شوند. طلای جذب شده بر روی کربن فعال با سدیم هیدروکسید گرم شسته شده و بعد از فرایند سامانتاسیون به وسیله پودر روی اکسید و دیاتومه به صورت کیک در آمده و برای بازیابی به کارخانه ذوب فرستاده می‌شود. گلاب به تقریب بدون طلا به منظور گرفتن آب از آن و برگرداندن دوباره به چرخه فرایند به تیکنر^(۱) منتقل می‌شود. مواد خروجی از تیکنر (به تقریب با ۳۰ درصد جامد) که دارای مقدارهای زیادی سیانید و ترکیب‌های آن می‌باشد وارد سد باطله می‌شود [۱].

سیانید یک ترکیب شیمیایی کربن و نیتروژن می‌باشد که هیدروژن سیانید، سدیم سیانید و پتاسیم سیانید نمونه‌هایی از ترکیب‌های ساده سیانیدی هستند. سیانید یک ماده بسیار سمی و خط‌ناک می‌باشد. مقدار کشنده سیانیدریک اسید ۵۰ تا ۱۰۰ میلی گرم، سدیم سیانید ۱۵۰ میلی گرم و پتاسیم سیانید ۲۰۰ میلی گرم است. بیشترین غلظت بی‌ضرر سیانیدریک اسید در هوا ۱۰ ppm است. ورود آن به آب‌های سطحی، زیرزمینی و خاک خسارت‌های جبران ناپذیری را بر محیط زیست و زندگی بشری به همراه دارد [۲].

یون‌های CN^- و HCN به عنوان سیانور آزاد محسوب می‌شوند. یون CN^- در pH بالای ۹ پایدار بوده و در پایین‌تر از ۷ به HCN گازی تبدیل می‌شود [۳، ۲].

چهار گروه از ترکیب‌های سیانید، که از نقطه نظر زیست محیطی و سمیت دارای اهمیت هستند، عبارتند از: سیانید آزاد (CN_f ، سیانیدهای قابل جداسازی با اسید ضعیف (CN_{wad} ، سیانیدهای آهن و کمپلکس‌های سیانید - آهن [۱۴]. سیانید با وجود سمی و خط‌ناک بودن یکی از مواد اصلی مورد استفاده در صنایعی مانند آبکاری، کارخانه‌های تولید فیبر، تولید پلاستیک، چسب، مواد رنگی و شیمیایی آلی، داروسازی، عکاسی، وسایل آرایشی، نمک‌های جاده، فرایندهای مقاوم سازی و افزایش سختی فلزها و فولاد، فرایندهای فتوگرافی، تهیه نیتریل‌ها، کوره‌های کک سوز می‌باشد. اما یکی از اصلی‌ترین و مهم‌ترین

(۱) Thikner

جدول ۱- تجزیه شیمیایی تالک سفید.

L.O.I	SO ₄	K	Na	MgO	CaO	TiO ₂	Fe ₂ O ₃	Al ₂ O ₃	SiO ₂	ترکیب
۱۲/۱۰	۰/۰۲	۰	۰/۱۲	۳۰/۷۰	۰/۷۱	۰/۱۳	۱/۴۱	۱/۱۰	۵۹/۹۵	مقدار

جدول ۲- تجزیه شیمیایی تالک صنعتی.

L.O.I	SO ₄	K	Na	MgO	CaO	TiO ₂	Fe ₂ O ₃	Al ₂ O ₃	SiO ₂	ترکیب
۱۲/۱۰	۰/۰۶	۰	۰/۲۰	۲۹/۳۰	۴/۳۰	۰/۰۲	۰/۰۶	۱/۰۰	۵۲/۱۰	مقدار

از آنجایی که بیشتر یون‌های سیانیدی موجود در محلول آئیونی هستند و بایستی در یک سطح مثبت جذب بشوند تالک برای این کار مناسب بوده و برای افزایش ظرفیت جذب آن از آلومینیم کلرید ($AlCl_3$) استفاده شد.

محلول سیانیدی از آب سد باطله کارخانه فراوری طلا تهیه شد که pH آن در حدود ۹ و غلظت سیانید آزاد ۱۴۰ میلی گرم در لیتر تعیین شد. اندازه‌گیری سیانید آزاد با استفاده از روش تیتراسیون و با محلول $0/0102$ مول در لیتر نقره نیترات انجام شد. از سدیم هیدروکسید برای تهیه محلول شاهد استفاده شد، که از حل کردن ۱/۶ گرم سدیم هیدروکسید در یک لیتر آب مقتدر، محلول شاهد $0/04$ مول به دست می‌آید و برای رقیق کردن محلول سیانید مورد استفاده قرار می‌گیرد. از آلومینیم کلرید با غلظت $0/004$ مول نیز برای افزایش بار سطحی مثبت تالک و در دو حالت برای آزمایش‌ها استفاده شد (تالک آغشته شده با محلول و افزودن محلول در زمان انجام آزمایش).

فرایند جذب عبارت است از انتقال اجزایی از سیال و تجمع آن در جاذب جامد که تا رسیدن به حالت تعادل ادامه می‌یابد. در مطالعه انتقال و جذب املاح و ترکیبها بر روی یک ماده بایستی معادله‌ها و رابطه‌هایی بین غلظت ماده جذب شونده و غلظت باقی‌مانده آن در محلول در دماهای ثابت وجود داشته باشد که این معادله‌ها را هم دماهای جذب سطحی می‌گویند. مدل‌های لانگ‌مایر و فرونالدیچ بیان کننده این رابطه‌ها هستند. برای فرایند جذب، سیستمیک جذب با استفاده از مدل‌های درجه اول و دوم لاجرجن بیان می‌شود [۱۳، ۱۵].

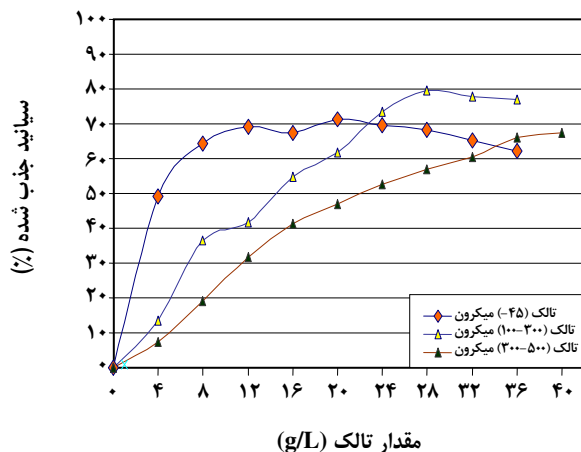
براساس بررسی‌های انجام گرفته تاکنون هیچ مطالعه‌ای در مورد جذب سیانید با استفاده از تالک انجام نگرفته است. از آنجا که یون سیانید بار منفی دارد و با توجه به منفی و مثبت بودن بار سطحی تالک، در این پژوهش از آن برای جذب سیانید استفاده شد. روش جذب به خاطر امکان بازیافت و استفاده مجدد سیانید از مهم‌ترین روش‌ها می‌باشد.

بخش تجربی

مواد لازم و آماده سازی

مطالعه‌ها و آزمایش‌های جذب در دمای آزمایشگاه ($21^{\circ}C$) و در داخل یک بشر استوانه‌ای انجام گرفت. بدین ترتیب که ابتدا محلول برای جلوگیری از تبخیر سیانید و تبدیل شدن آن به HCN گازی شکل در حدود ۱۱ تنظیم شد سپس ۵۰ میلی لیتر از محلول سیانید به داخل بشر افزوده شد و به دنبال آن مقدارهای متفاوتی از تالک در وزن‌های $۱/۲$ ، $۱/۴$ و $۱/۶$ به داخل محلول افزوده شد و به مدت نیم ساعت به‌وسیله همزن مکانیکی بهم زده شد بعد از آن به مدت ۱۰ دقیقه در حالت سکون قرار گرفت تا اینکه تالک تهنشین شده و باقیمانده سیانید نیز تا حد امکان جذب شود. سپس محلول با استفاده از کاغذ صافی واتمن شماره ۴۲ صاف شد و تالک باقی‌مانده بر روی

بهمنظر مطمئن شدن از جذب سیانید به‌وسیله تالک و پیدا کردن مقدار مناسب آن، ابتدا چندین آزمایش اولیه انجام گرفت. برای اولین بار از آزمایش جذب سیانید به‌وسیله تالک، نتیجه‌های رضایت‌بخشی به دست آمد. تالک مورد استفاده برای آزمایش‌های جذب سیانید از شرکت پودرسازان تهیه شد و در این پژوهش دو نوع تالک در دانه‌بندی‌های زیر 45 میکرون ($45\text{ }\mu\text{m}$) از نوع تالک سفید، (100 تا 300) و (300 تا 500) میکرون از نوع تالک صنعتی مورد استفاده قرار گرفت. نتیجه‌های تجزیه شیمیایی تالک سفید و صنعتی که با استفاده از روش جذب اتمی انجام گرفته است در جدول‌های ۱ و ۲ نشان داده شده است.



شکل ۱- نمودار درصد جذب سیانید نسبت به افزایش میزان تالک.

مقدار بهینه جذب سیانید در شرایط فوق برای اندازه‌های (۴۵)، (۱۰۰-۳۰۰) و (۳۰۰-۵۰۰) میکرون به ترتیب ۲۱/۲۱، ۷۹/۵ و ۶۶/۱ درصد می‌باشد. به احتمال فراوان علت ثابت ماندن افزایش سیانید بعد از این مقدارهای بحرانی شدن شرایط جذب افزایش تعداد نقطه‌های بار سطحی منفی در زاویه‌ها و گوشه‌های دانه‌های تالک در اثر خردایش زیاد می‌باشد. در اندازه‌ی (۴۵) میکرون به دلیل ریز بودن اندازه‌های تالک (پودر) افزودن بیش از حد جاذب باعث رسوب شدن و خوب مخلوط نشدن آن با محلول شده و در نتیجه افزایش بیش از حد آن بازده جذب نیز کاهش می‌یابد.

در شکل ۱ از مقایسه منحنی‌ها مشخص می‌شود که در اندازه‌های (۱۰۰-۳۰۰) میکرون درصد جذب سیانید بیشتر از بقیه می‌باشد.

اثر افزایش pH بر جذب سیانید بر روی جاذب تالک

در این مرحله از آزمایش‌ها pH به عنوان پارامتر متغیر و میزان جاذب در مقدارهای بهینه آنها، دما و زمان تماس نیز ثابت در نظر گرفته شده‌اند.

بنابراین برای بررسی تأثیر افزایش pH و به دست آوردن مقدار بهینه آن برای بیشینه جذب سیانید آزمایش‌ها در pH‌های ۹/۵، ۹، ۹/۵... و ۱۲/۵ انجام گرفت.

نتیجه‌های به دست آمده نشان داد که با افزایش pH تا ۹ برای اندازه‌های (۱۰۰-۳۰۰) و (۳۰۰-۵۰۰) میکرون و تا ۹/۵ برای اندازه‌ی (۴۵) میکرون میزان سیانید باقی‌مانده نیز کاهش می‌یابد. برای موقعی که میزان pH در اندازه‌ی (۴۵) میکرون

صافی نیز شستشو شد تا اینکه سیانید بر روی صافی باقی نماند. بعد از آن حجم محلول را به ۱۰۰ میلی‌لیتر رسانده و غلظت سیانید مشخص شد.

برای مشخص کردن هم‌دماهای جذب، محلول‌های سیانیدی با غلظت‌های ۵۰، ۷۵، ۱۰۰، ۱۲۵، ۲۰۰، ۱۵۰ و ۳۰۰ میلی‌گرم در لیتر از سدیم سیانید تهیه شد، سپس در مقدارهای بهینه وزنی به دست آمده از آزمایش‌های جذب از تالک، بر ۵۰ میلی‌لیتر از هر کدام از این محلول‌ها ریخته شد و در یک دمای ثابت (دما آزمایشگاه ۲۱ °C) آزمایش‌های جذب انجام گرفت و مقدار سیانید باقی‌مانده بعد از آزمایش برای هر کدام از دو نمونه اندازه‌گیری شد.

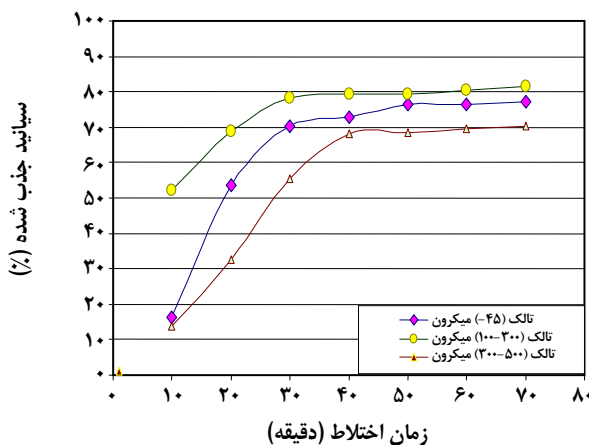
نتایج و بحث

تأثیر میزان تالک در جذب سیانید

بعد از مطمئن شدن از جذب سیانید به‌وسیله تالک، تأثیر افزایش مقدار آن بر میزان جذب سیانید در دمای ثابت ۲۱ °C (دما محیط آزمایشگاه)، pH=۱۱ و زمان تماس ۳۰ دقیقه، مورد بررسی قرار گرفت. بر این اساس با وزن‌های گوناگونی از تالک از ۰/۲ تا ۲ گرم با ۵۰ میلی‌لیتر محلول سیانیدی آب سد باطله، آزمایش‌ها انجام گرفت. در این مرحله تنها متغیر میزان غلظت تالک بوده و پارامترهای دیگر ثابت در نظر گرفته شدند. آزمایش‌های جذب برای تالک در سه بازه‌ی ابعادی (۳۰۰-۵۰۰)، (۴۵) و (۱۰۰-۳۰۰) میکرون مورد بررسی قرار گرفت.

نتیجه‌های به دست آمده از آزمایش‌ها نشان می‌دهد که با افزایش میزان تالک، مقدار سیانید باقی‌مانده در هر سه دانه‌بندی کمتر می‌شود. ولی موقعی که میزان تالک در اندازه‌های (۴۵)، (۳۰۰-۵۰۰) و (۱۰۰-۳۰۰) میکرون به ترتیب به ۲۸، ۲۰ و ۳۶ گرم در لیتر رسید بعد از آن افزایش تالک تأثیری چندانی در میزان سیانید باقی‌مانده در محلول ندارد و می‌توان گفت که مقدار تالک برای هر سه دانه‌بندی به مقدار بهینه خود برای حذف سیانید رسیده است.

شکل ۱ نمودار تغییرهای درصد جذب سیانید را بر اساس تغییر جرم تالک در pH=۱۱، زمان به هم زدن ۳۰ دقیقه و دمای ۲۱ °C برای هر سه دانه‌بندی از تالک نشان می‌دهد. با توجه به شکل ۱ دیده می‌شود که درصد سیانید جذب شده بر روی تالک با افزایش میزان جاذب زیاد شده و به نقطه‌ای می‌رسد که دیگر افزایش تالک تأثیری بر درصد جذب سیانید ندارد و به کنندی صورت می‌گیرد.



شکل ۳- نمودار درصد سیانید جذب شده به افزایش زمان اختلاط.

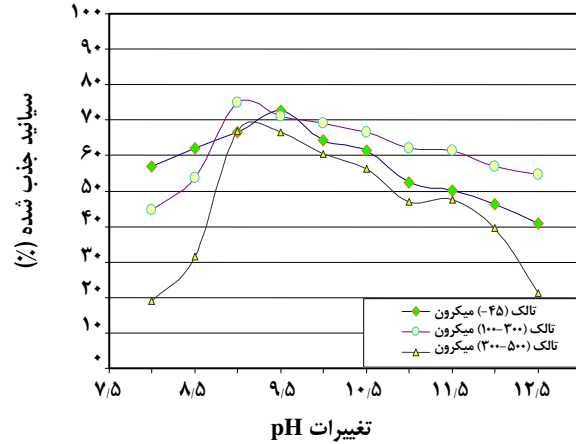
و میزان بهینه‌اش نیز مشخص شود. برای این منظور در pH=۹/۵ دمای ۲۱ °C و ۲۱ g/L ۲۰ تالک برای اندازه‌ی (۴۵)- میکرون و برای اندازه‌های (۱۰۰-۳۰۰) و (۳۰۰-۵۰۰) میکرون در pH=۹ دمای (۴۵)- میکرون در pH=۹/۵ به ترتیب در زمان‌های دمای ۲۱ °C و ۲۸ g/L ۲۸ و ۳۶ g/L تالک به ترتیب در زمان‌های متغّریان ۱۰، ۲۰، ۳۰، ۴۰، ۵۰، ۶۰ و ۷۰ دقیقه آزمایش‌های بسیاری انجام گرفت که نتیجه‌ها و اطلاعات آن برای مشخص شدن زمان بهینه و اثر افزایش زمان در آزمایش‌ها آمده است.

با مراجعه به شکل ۳ مشخص می‌شود که با افزایش زمان بههم زدن محلول با تالک میزان سیانید جذب شده تا زمان بهینه هر کدام بهینه به بعد تعییرهای چندانی در مقدار سیانید باقی‌مانده از دانه‌بندی‌ها افزایش می‌یابد ولی با افزایش زمان از مقدارهای بهینه در تالک میزان سیانید جذب شده بر روی جاذب به دست نمی‌آید در محلول و در نتیجه سیانید جذب شده بر روی جاذب به دست نمی‌آید و می‌توان گفت که در این مدت سیانید به حد کافی بر روی تالک جذب شده است و با سیانید باقی‌مانده در محلول به حالت تعادل رسیده است. زمان بهینه برای اندازه‌های (۴۵)-، (۱۰۰-۳۰۰) و (۳۰۰-۵۰۰) میکرون میزان سیانید جذب شده (%) به ترتیب برابر با ۷۸/۴، ۷۶/۵ و ۶۸/۲ به دست آمده است.

مدل‌سازی سینتیکی جذب سیانید بر روی تالک مدل درجه اول لاجرجن

سینتیکی جذب سیانید بر روی تالک نیز مورد بررسی قرار گرفت. جدول ۳ داده‌های مربوط به معادله درجه اول لاجرجن بر اساس معادله (۱) نشان می‌دهد.

$$\log(q_e - q) = \log(q_{e_0}) - \log \frac{k_{ads}}{2,303} t \quad (1)$$



شکل ۲- نمودار درصد سیانید جذب شده نسبت به افزایش pH.

به ۹/۵ رسید، مقدار سیانید باقی‌مانده در کمترین مقدار خود یعنی ۳۸/۲ mg/L و برای ابعاد (۱۰۰-۳۰۰) و (۳۰۰-۵۰۰) میکرون در pH=۹ به ترتیب ۳۵ mg/L و ۴۶/۲۱ mg/L می‌باشد و با افزایش دوباره pH، میزان سیانید باقی‌مانده افزایش می‌یابد.

شکل ۲ نتیجه‌های به دست آمده از جذب سیانید با pH های گوناگون، زمان هم زدن ۳۰ دقیقه، دمای ۲۱ °C و مقدارهای بهینه غلظت برای هر سه نوع دانه‌بندی از تالک را نشان می‌دهد. از روی نمودار مشخص است که با افزایش میزان pH تا مقدارهای بهینه آنها، درصد سیانید جذب شده در هر سه نمونه افزایش یافته و برای اندازه‌های (۱۰۰-۳۰۰) و (۳۰۰-۵۰۰) میکرون میزان جذب در pH=۹ به ترتیب برابر با ۷۵ و ۶۷ درصد و برای نمونه (۴۵)- میکرون میزان سیانید جذب شده به حدود ۷۳ درصد می‌رسد. بنابراین میزان pH بهینه برای نمونه‌های درشت برابر و برای نمونه پودری ۹/۵ انتخاب شد. علت انتخاب این pH ها شاید به خاطر متفاوت بودن سطح کانی تالک (آب ران و آب پذیر بودن) نسبت به سایر کانی‌ها باشد که هم شامل یون‌های مثبت و یون‌های منفی (در لبه‌ها و قسمت‌های شکسته شده) آن است. به دلیل اینکه در pH های بالا میزان یون‌های CN⁻ زیاد هستند در نتیجه تمایل بیشتری برای جذب بر روی سطوح مثبت تالک از خود نشان می‌دهد.

اثر زمان اختلاط

پس از مشخص شدن مقدار بهینه تالک و pH برای هر کدام از دانه‌بندی‌ها بایستی زمان در تماس بودن محلول با جاذب نیز مورد بررسی قرار بگیرد تا اینکه تأثیر آن در فرایند جذب بررسی

جدول ۳-دادهای مربوط به معادله درجه اول کاذب لاجرجن برای جذب سیانید توسط تالک.

(۳۰۰-۵۰۰) میکرون	(۱۰۰-۳۰۰) میکرون	(-۴۵) میکرون	زمان (دقیقه)	شماره
log (q _e -q)	log (q _e -q)	log (q _e -q)		
۰/۳۳	۰/۱۳	۰/۶۳	۱۰	۱
۰/۱۵	-۰/۲۹	۰/۲۰	۲۰	۲
-۰/۲۹	-۱/۴۲	-۰/۳۷	۳۰	۳
-۱/۷۹	-	-۰/۵۷	۴۰	۴
-	-	-۲/۴۶	۵۰	۵

به ترتیب برابر ۵/۴۶، ۳/۹۶ و ۲/۶۷ میلی گرم بر گرم جاذب در زمان تعادل جذب می‌باشد.

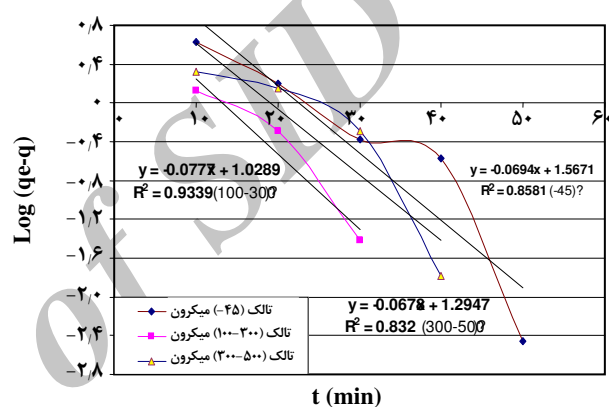
مدل درجه دوم کاذب لاجرجن

در جدول ۴ داده‌های مربوط به رسم معادله درجه دوم کاذب لاجرجن توسط تالک در هر سه دانه‌بندی با توجه به معادله نشان داده شده است [۱۵ و ۱۳].

$$\frac{1}{q} = \frac{1}{k_{\text{ads}} q_e} + \frac{1}{q_e} t \quad (2)$$

جدول ۴ نیز از داده‌های مربوط به سینتیک جذب سیانید در زمان‌های ۱۰، ۲۰، ۳۰، ۴۰ و ۵۰ دقیقه برای هر کدام از دانه‌بندی‌ها تنظیم شده که ستون دوم آن زمان جذب و ستون سوم نتیجه‌ی تقسیم زمان بر میزان جذب سیانید در همان زمان می‌باشد. شکل ۵ منحنی بهدست آمده از مدل‌سازی جذب با معادله درجه دوم لاجرجن نشان می‌دهد و معادله خطوط برآش و ضریب همبستگی هر کدام از دانه‌بندی‌ها به دست آمده است.

از مقایسه شکل‌های ۴ و ۵ با توجه به برآش آنها با معادله خطوط برآش و نیز ضریب‌های همبستگی بهدست آمده در جدول ۵ می‌توان فهمید که در اندازه‌های (-۴۵) و (۳۰۰-۵۰۰) میکرون، سینتیک جذب از معادله درجه اول لاجرجن پیروی می‌کند. زیرا مقدار ضریب همبستگی به دست آمده در برآش منحنی‌ها از معادله درجه اول به مراتب بیشتر از میزان آن در معادله درجه می‌باشد و این نشان دهنده پیروی سینتیک جذب از معادله درجه اول لاجرجن است. اندازه (۱۰۰-۳۰۰) میکرون نیز از مدل درجه دوم پیروی می‌کند. از میزان R^2 بهدست آمده برای این اندازه‌ها نتیجه گرفته می‌شود که پیروی سینتیک جذب به طور کامل از معادله درجه دوم نیست چرا که میزان ضریب همبستگی در معادله



شکل ۴- منحنی‌های معادله درجه اول کاذب لاجرجن برای جذب سیانید روی تالک.

ستون دوم نشان دهنده زمان جذب از ابتدای تماس با جاذب بر حسب دقیقه و ستون سوم لگاریتم اختلاف میزان جذب تعادلی و جذب در زمان مورد نظر را نشان می‌دهد. البته در زمان تعادل میزان q_e و q باهم برابر بوده است؛ درنتیجه برای مثبت شدن مقدار $\log(q_e-q)$ زمان بالاتر از زمان بهینه برای q_e در نظر گرفته می‌شود، زیرا میزان سیانید جذب شده در این زمان اندکی بیشتر از زمان بهینه است [۱۳، ۱۵].

در شکل ۴ منحنی‌های بهدست آمده از مدل‌سازی جذب با معادله درجه اول کاذب لاجرجن برای هر کدام از دانه‌بندی‌های تالک نشان داده شده و معادله خطوط برآش و ضریب همبستگی آنها رسم و محاسبه شده است. میزان ثابت نرخ جذب تعادلی (k_{ads}) به طور متوسط برای هر کدام از دانه‌بندی‌ها از دانه ریز به دانه درشت به ترتیب برابر ۰/۹۸۸۶، ۰/۱۵۵۰ و ۰/۰۵۵۰ گرم بر میلی گرم در دقیقه و مقدار q_e نیز برای دانه‌بندی اشاره شده

جدول ۴- داده‌های مربوط به معادله درجه دوم کاذب لاجرجن برای جذب سیانید توسط تالک.

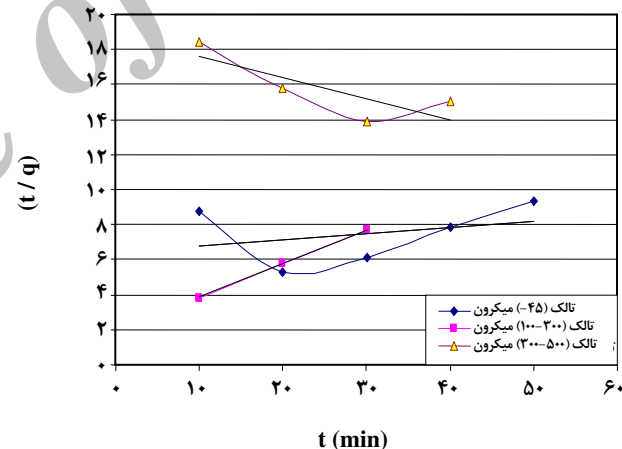
(۳۰۰-۵۰۰) میکرون	(۱۰۰-۳۰۰) میکرون	(-۴۵) میکرون	زمان (دقیقه)	شماره
(t/q)	(t/q)	(t/q)		
۱۸/۴۵	۳/۸۴	۸/۷۷	۱۰	۱
۱۵/۸۲	۵/۸۱	۵/۳۱	۲۰	۲
۱۳/۹	۷/۶۵	۶/۰۸	۳۰	۳
۱۵/۰۷	-	۷/۸۶	۴۰	۴
-	-	۹/۳۳	۵۰	۵

جدول ۵- داده‌های مربوط به ضرایب همبستگی معادلات لاجرجن.

(۳۰۰-۵۰۰) میکرون	(۱۰۰-۳۰۰) میکرون	(-۴۵) میکرون	انواع دانه‌بندی تالک
میزان ضریب همبستگی (R^2)			
۰/۸۳۲	۰/۹۳۳۹	۰/۸۵۸۱	معادله درجه اول
۰/۶۵۱۳	۰/۹۹۹۶	۰/۱۱۳۱	معادله درجه دوم

اثر دما در فرایند جذب سیانید

پس از مشخص شدن مقدار بهینه پارامترهای دیگر، جذب سیانید در دماهای گوناگون ۱۰، ۱۵، ۲۰، ... و ۶۰ درجه سانتی گراد برای هر سه نوع دانه‌بندی مورد بررسی قرار گرفت. با افزایش دما مقدار سیانید باقی‌مانده به سرعت کم می‌شد تا جایی که در دماهای بالاتر برای بعضی از اندازه‌های جاذب سیانید آزاد وجود نداشت. کاهش میزان سیانید باقی‌مانده به تبخیر و تبدیل شدن آن به HCN گازی مربوط می‌شود. نمودار مربوط به درصد جذب سیانید نسبت به دما در شکل ۶ آمده است.



اثر دانه‌بندی تالک

از نتیجه‌های آزمایش‌های انجام گرفته برای جذب سیانید بر روی تالک مشخص می‌شود که در اینجا نیز میزان سیانید جذب شده در اندازه‌ی ریز بیشتر از اندازه‌ی درشت دانه است. لیکن برای اندازه‌ی (-۴۵) میکرون می‌توان گفت که زیاد بودن درصد جذب سیانید بر روی آن نسبت به اندازه‌ی (۳۰۰-۵۰۰) میکرون، به زیاد بودن سطح ویژه آن برمی‌گردد. اما کمتر بودن آن نسبت به اندازه‌ی (۱۰۰-۳۰۰) میکرون بیشتر به خاطر زیاد بودن زاویه‌ها و گوشش‌های تالک در هنگام پودر شدن مربوط است چرا که در این حالت میزان بار منفی بیشتر می‌شود اما در این حال سطح آن

شکل ۵- منحنی‌های معادله درجه دوم کاذب لاجرجن برای جذب سیانید توسط تالک.

درجه اول نیز زیاد است. میزان ثابت نرخ جذب تعادلی (k_{rads}) به طور متوسط برای هر کدام از دانه‌بندی‌ها از دانه ریز به دانه درشت به ترتیب برابر $0/۱۵۹۸$ ، $0/۱۵۶۱$ و $0/۰۱۸۵۱$ گرم بر میلی گرم در دقیقه و مقدار q_e نیز برای دانه‌بندی اشاره شده به ترتیب برابر با $۳/۹۶$ ، $۵/۴۶$ و $۲/۶۷$ میلی گرم جاذب در زمان تعادل می‌باشد.

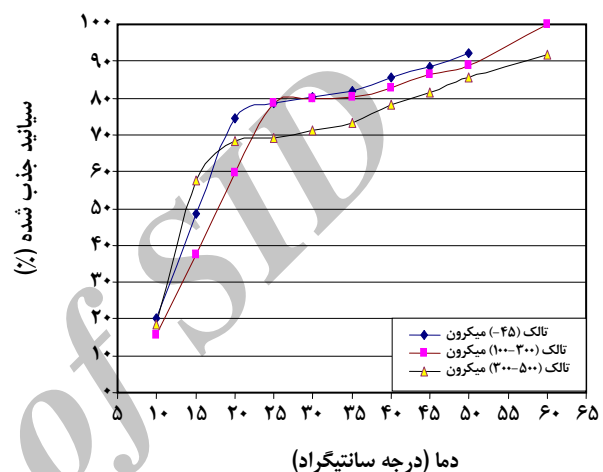
جدول ۶ - میزان سیانید جذب شده در شرایط بهینه.

سیانید جذب شده (%)			دما (درجه سانتی گراد)	زمان (دقیقه)	pH	تالک (گرم بر لیتر)	ابعاد تالک
آغشته شده با AlCl ₃	محول AlCl ₃	حالت بهینه					
۸۵	۸۱	۷۶	۲۱	۵۰	۹/۵	۲۰	میکرون (-۴۵)
۹۱	۸۷/۷	۷۸	۲۱	۳۰	۹	۲۸	میکرون (۱۰۰-۳۰۰)
۷۶	۷۲	۶۸	۲۱	۴۰	۹	۳۶	میکرون (۳۰۰-۵۰۰)

میزان بار مثبت سطح تالک می‌شود یک سطح‌ساز مناسب برای این جاذب به شمار می‌رود. افزودن حدود ۶ قطره از محلول آلومینیم کلرید برای اندازه‌ی -۴۵- میکرون، حدود ۱۰ قطره برای اندازه‌های ۱۰۰-۳۰۰ میکرون و در حدود ۱۴ قطره برای اندازه‌های ۳۰۰-۵۰۰ میکرون بهترین حالت را برای جذب سیانید نشان داد. به طوری که میزان جذب سیانید در این حالت به ترتیب برای هر کدام از اندازه‌های گفته شده ۸۱، ۸۷ و ۷۲ درصد به دست آمد. اما آزمایش‌های انجام گرفته با تالک آغشته به این سطح‌ساز نتیجه‌های متفاوتی را ارایه داد به طوری که با همین مقدار تالک آغشته شد و آزمایش‌ها بر روی آن انجام گرفت که نتیجه‌های آن به ترتیب برای اندازه‌های ریز تا درشت در حدود برابر با ۸۵ و ۹۱ و ۷۶ به دست آمد که دلیل این کار به احتمال فراوان خوب آغشته شدن و مثبت شدن بار سطحی تالک نسبت به حالت قبلی می‌باشد. در حالت اول این ماده می‌تواند به عنوان سطح‌ساز نیز عمل کند. از جدول ۶ مشخص است که بهترین حالت برای جذب سیانید استفاده از تالک آغشته شده به آلومینیم کلرید در اندازه‌های (۱۰۰-۳۰۰) میکرون است.

تعیین هم‌دماهای جذب سیانید بر روی تالک

برای بررسی هم‌دماهای جذب سیانید در کانی تالک، محلول‌هایی با غلظت‌های ۵۰، ۷۵، ۱۰۰، ۱۲۵، ۱۵۰ و ۲۰۰ میلی گرم در لیتر از سدیم سیانید خالص جامد تهیه شد و سپس بر روی ۵۰ میلی لیتر از هر کدام از آنها ۱ گرم تالک برای اندازه‌ی -۴۵- میکرون، ۱/۴ و ۱/۸ گرم به ترتیب برای اندازه‌های ۱۰۰-۳۰۰ و ۳۰۰-۵۰۰ میکرون ریخته شد. برای تعیین ویژگی‌های هم‌دما و ظرفیت جذب، در یک دمای ثابت ۲۱ °C و pH بهینه هر کدام از فراکسیون‌ها در زمان‌های بهینه هر کدام از آنها آزمایش‌های جذب انجام گرفت و بعد از مشخص شدن میزان



شکل ۶ - نمودار درصد سیانید جذب شده نسبت به درجه حرارت.

خالی از بار مثبت نیست و توانایی جذب مولکول‌ها و یون‌های منفی سیانید را دارد. بنابراین از نتیجه‌های به دست آمده مشخص می‌شود که بهترین دانه‌بندی تالک برای جذب سیانید اندازه‌های ۱۰۰-۳۰۰ میکرون می‌باشد و با وجود بالا بودن میزان جذب سیانید برای حالت پودری، به خاطر ایجاد مشکلات و خوب در تماس نبودن آن با محلول پیشنهاد نمی‌شود

اثر آلومینیم کلرید در فرایند جذب سیانید بر روی تالک

بعد از بررسی اثر عامل‌های مؤثر بر فرایندهای جذب سیانید بر روی تالک و مشخص کردن مقدارهای بهینه هر کدام از پارامترها مجموعه آزمایش‌هایی نیز در مقدارهای بهینه به دست آمده با تالک آغشته شده به آلومینیم کلرید انجام شد افزون بر آن در همان مقدارهای بهینه آزمایش‌های دیگری نیز با افزودن آلومینیم کلرید ۰/۰۰۰۴ مول در مقدارهای انجام شد که میزان جذب سیانید در هر سه حالت برای هر سه دانه‌بندی تالک در جدول ۶ نشان داده شده است. از آنجایی که آلومینیم کلرید باعث افزایش

به صورت $\log(q_e) = \log(k) + \frac{1}{n} \times \log(C_e)$ می‌باشد که در آن q_e و C_e همان پارامترهای لانگ‌مایر و n و k ثابت‌های فروندلیج هستند [۱۵، ۱۳]. بر این اساس منحنی‌های به دست آمده از رسم مقادرهای لگاریتمی میزان سیانید جذب شده و باقی‌مانده در محلول در شکل ۸ آمده است.

در جدول ۱۰ میزان مقادرهای ثابت هر دو مدل که از برازش منحنی‌ها با مجموع کمترین مربعات به دست آمده، نشان داده شده است. منحنی‌ها و خطاهای به دست آمده از برازش آنها در شکل ۸ میزان برازش منحنی‌های حاصل از مقادرهای سیانید جذب شده و میزان سیانید باقی‌مانده در محلول با مدل فروندلیج را نشان می‌دهد. از مقایسه منحنی‌های شکل‌های ۷ و ۸ و نیز میزان ضریب تبیین به دست آمده مشخص می‌شود که بیشینه جذب در هر سه اندازه بیشتر از مدل فروندلیج پیروی می‌کند هر چند که میزان ضریب تبیین به دست آمده از مدل لانگ‌مایر نیز برای اندازه‌های ۳۰۰-۵۰۰ و ۱۰۰-۳۰۰ میکرون زیاد است. بیشترین پیروی از این مدل به اندازه‌های ۱۰۰-۳۰۰ میکرون مربوط می‌شود.

نتیجه‌گیری

- ۱) تالک به خاطر داشتن سطوح آب ران و آب پذیر برای جذب یون‌های سیانید مورد استفاده قرار گرفت که با افزایش میزان تالک، مقدار سیانید باقی‌مانده در هر سه دانه‌بندی از جاذب تالک کمتر شد.
- ۲) میزان بهینه تالک برای جذب سیانید در اندازه‌های ۴۵-۳۰۰ و ۱۰۰-۵۰۰ میکرون به ترتیب ۲۸، ۲۰ و ۳۶ گرم در لیتر بود.
- ۳) در اندازه‌ی ۴۵-میکرون به دلیل ریز بودن اندازه‌های تالک (پودر) افزودن زیادتر از حد جاذب باعث ته نشین شدن و خوب مخلوط نشدن آن با محلول شده و در نتیجه بعد از افزایش این مقدار میزان جذب نیز کاهش می‌یابد.
- ۴) pH بهینه برای اندازه‌های ۱۰۰-۳۰۰ و ۳۰۰-۵۰۰ میکرون تالک برابر ۹ و برای اندازه‌ی ۴۵-میکرون برابر ۹/۵ می‌باشد. دلیل آن شاید به خاطر وجود دو سطح متفاوت تالک باشد که شامل یون‌های مثبت در سطوح و یون‌های منفی در لبه‌ها و قسمت‌های شکسته شده است.
- ۵) زمان بهینه برای اندازه‌های ۴۵-، ۳۰۰- و ۱۰۰-۵۰۰ میکرون به ترتیب ۵۰، ۳۰ و ۴۰ دقیقه به دست آمد.

سیانید جذب شده به ازای هر گرم جاذب و غلظت سیانید باقی‌مانده در محلول (غلظت آن در حال تعادل) پارامترهای گوناگون ایزوترمهای جذب تعیین شد و منحنی‌های ایزوترم هر سه نمونه بر اساس مدل‌های لانگ‌مایر و فروندلیج رسم شد و پیروی آنها نیز بر اساس مدل‌های گفته شده مورد بررسی قرار گرفت.

بررسی فرایند جذب با مدل لانگ‌مایر

اگر منحنی حاصل از نقاط $(1/q_e)$ و $(1/C_e)$ که براساس معادله $\frac{1}{q_e} = \frac{1}{b} + \frac{1}{ab} \times \frac{1}{C_e}$ رسم شوند، خطی باشند بیشینه جذب بر اساس مدل لانگ‌مایر است و گرنه از آن پیروی نمی‌کند [۱۵، ۱۳]. در جدول‌های ۷ تا ۹ پارامترهای گوناگون مدل‌های هم‌دامی جذب سطحی برای هر کدام از مدل‌ها و برای هر سه نوع دانه‌بندی تالک آمده است.

از مطالعه و دقت در این جدول‌ها چنین بر می‌آید که میزان جذب سیانید از محلول خالص در تمامی اندازه‌ها به طور متوسط بیشتر از مقادرهای آن از آب سد باطله است که نشان دهنده ظرفیت جذب تالک در غلظت مورد نظر می‌باشد. همچنین مشخص است که میزان سیانید جذب شده به ازای هر گرم جاذب در غلظت‌های بالاتر بیشتر از مقادرهای آن در غلظت‌های پایین است. چگونگی تطابق هر کدام از منحنی‌های به دست آمده از مقادرهای سیانید جذب شده با مدل لانگ‌مایر در نمودار شکل ۷ نشان داده شده است.

شکل ۷ میزان برازش منحنی‌های به دست آمده از مقادرهای سیانید جذب شده و میزان سیانید باقی‌مانده در محلول با مدل لانگ‌مایر را نشان می‌دهد. از روی نمودارها مشخص است که بیشترین ضریب همبستگی منحنی با اندازه‌های ۱۰۰-۳۰۰ میکرون مربوط می‌شود. زیرا میزان برازش منحنی به دست آمده از ترسیم نقطه‌های یاد شده با خط به دست آمده از تطبیق با مدل لانگ‌مایر بیشتر از دیگر اندازه‌ها می‌باشد بهطوری که میزان ضریب تبیین با مقدار ۹۲۹ بیشترین مقدار را داشته و ظرفیت جذب در این حالت از دیگر فرآکسیون‌ها بیشتر می‌باشد.

بررسی فرایند جذب با مدل فروندلیج

با توجه به اینکه طبق مدل فروندلیج مناطق جذب در جسم جامد غیر یکنواخت بوده و قدرت جذب آنها متفاوت است و هیچ حدی برای میزان جذب وجود ندارد. بنابر این شکل لگاریتمی آن

مریبوط است.
 ۸) آلومینیم کلرید باعث افزایش میزان بار سطحی تالک شده و بازده جذب را نیز بالا می‌برد.
 ۹) بیشینه‌ی جذب در هر سه اندازه، بیشتر از مدل فروندلیچ پیروی می‌کند هر چند که میزان ضریب تبیین به دست آمده از مدل لانگ‌مایر نیز برای اندازه‌های ۳۰۰-۵۰۰ و ۱۰۰-۳۰۰ میکرون بالا است.

۶) سینتیک جذب نیز در اندازه‌های ۴۵-۴۰۰ میکرون و ۳۰۰-۵۰۰ میکرون از معادله درجه اول لاجرجن و برای اندازه‌های ۱۰۰-۳۰۰ میکرون به طور کامل از مدل درجه دوم پیروی می‌کند.
 ۷) زیاد بودن درصد جذب سیانید در اندازه ۴۵-۴۰۰ میکرون نسبت به اندازه‌های ۳۰۰-۵۰۰ میکرون به زیاد بودن سطح ویژه و کمتر بودن آن نسبت به اندازه ۱۰۰-۳۰۰ میکرون بیشتر به خاطر زیاد بودن زاویه‌ها و گوشه‌های تالک در هنگام پودر شدن

جدول ۷- پارامترهای گوناگون دمایانه جذب سطحی سیانید در اندازه‌های ۴۵-میکرون.

$\log(q_e)$	$\log(C_e)$	$(1/C_e)$	$(1/q_e)$	q_e (میلی گرم در گرم)	سیانید باقیمانده (میلی گرم در لیتر)	سیانید اولیه (میلی گرم در لیتر)
۰,۲۳	۱,۲۱	۰,۰۶۲	۰,۵۹	۱,۶۹	۱۶,۲۳	۵۰
۰,۴۷	۱,۱۹	۰,۰۶۵	۰,۳۴	۲,۹۸	۱۵,۳۲	۷۵
۰,۶۰	۱,۳۰	۰,۰۵۰	۰,۲۵	۴,۰۱	۱۹,۸۱	۱۰۰
۰,۶۹	۱,۴۳	۰,۰۳۷	۰,۲۰	۴,۹۰	۲۷	۱۲۵
۰,۷۶	۱,۵۳	۰,۰۲۹	۰,۱	۵,۸۰	۳۴,۰۵	۱۵۰
۰,۹۰	۱,۶۳	۰,۰۲۴	۰,۱۳	۷,۸۷	۴۲,۵۳	۲۰۰
۰,۹۹	۱,۷۲	۰,۰۱۹	۰,۱۰	۹,۸۵	۵۳	۳۰۰

جدول ۸- پارامترهای گوناگون هم‌دمایانه جذب سطحی سیانید در اندازه‌های ۳۰۰-۱۰۰ میکرون.

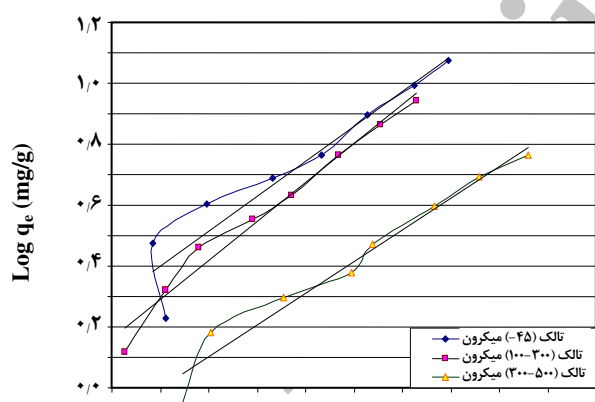
$\log(q_e)$	$\log(C_e)$	$(1/C_e)$	$(1/q_e)$	q_e (میلی گرم در گرم)	سیانید باقیمانده (میلی گرم در لیتر)	سیانید اولیه (میلی گرم در لیتر)
۰,۱۲	۱,۱۳	۰,۰۷۵	۰,۷۷	۱,۳۱	۱۳,۴۳	۵۰
۰,۳۲	۱,۲۱	۰,۰۶۲	۰,۴۸	۲,۱۰	۱۶,۲۵	۷۵
۰,۴۶	۱,۲۸	۰,۰۵۳	۰,۳۵	۲,۸۹	۱۹	۱۰۰
۰,۵۵	۱,۳۹	۰,۰۴۱	۰,۲۸	۳,۵۹	۲۴,۶۲	۱۲۵
۰,۶۳	۱,۴۷	۰,۰۳۴	۰,۲۳	۴,۳۰	۲۹,۶۵	۱۵۰
۰,۷۷	۱,۵۷	۰,۰۲۷	۰,۱۷	۵,۸۲	۳۷,۰۱	۲۰۰
۰,۸۶	۱,۶۶	۰,۰۲۲	۰,۱۴	۷,۳۱	۴۵,۲۱	۳۰۰

جدول ۶- پارامتر های گوناگون همدماهای جذب سطحی سیانید در اندازه های ۵۰۰-۳۰۰ میکرون.

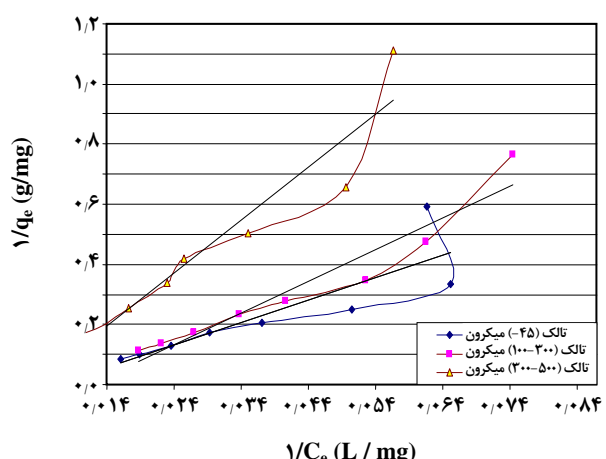
$\log(q_e)$	$\log(C_e)$	$(1/C_e)$	$(1/q_e)$	q_e (میلی گرم در گرم)	سیانید باقیمانده (میلی گرم در لیتر)	سیانید اولیه (میلی گرم در لیتر)
-۰,۰۵	۱,۲۵	۰,۰۵۷	۱,۱۱	۰,۹۰	۱۷,۶۴	۵۰
۰,۱۸	۱,۳۰	۰,۰۵۰	۰,۶۶	۱,۵۲	۲۰,۱۳	۷۵
۰,۳۰	۱,۴۶	۰,۰۳۵	۰,۵۰	۱,۹۹	۲۸,۵۴	۱۰۰
۰,۳۸	۱,۵۹	۰,۰۲۵	۰,۴۲	۲,۳۸	۳۹,۲۵	۱۲۵
۰,۴۷	۱,۶۴	۰,۰۲۳	۰,۳۴	۲,۹۶	۴۳,۴۱	۱۵۰
۰,۶۰	۱,۷۷	۰,۰۱۷	۰,۲۵	۳,۹۴	۵۸,۲۳	۲۰۰
۰,۶۹	۱,۸۶	۰,۰۱۰۱	۰,۲۰	۴,۹۴	۷۲,۳۴	۳۰۰

جدول ۷- ویژگی های همدما برای جذب سیانید بر روی تالک.

همدمای فروندلیج			همدمای لانگ‌مایر			ابعاد تالک
R ^r	n	k	R ^r	b	a	
۰,۹۰۵۷	۰,۸۷۳	۰,۱۰۵۴	۰,۷۴۱	-۲۰,۴۹۲	-۰,۰۰۶۵	(-۴۵) میکرون
۰,۹۷۶۳	۰,۷۸۰	۰,۰۵۶۳	۰,۹۲۹	-۸,۳۸۲	-۰,۰۱۱۳	(۱۰۰-۳۰۰) میکرون
۰,۹۶۵۶	۰,۹۵۹۸	۰,۰۰۵۵۸	۰,۹۰۹۴	-۱۸,۷۶۲	-۰,۰۰۳۰	(۳۰۰-۵۰۰) میکرون



شکل ۸- نمودار همدماهای جذب بر اساس مدل فروندلیج.



شکل ۷- نمودار همدماهای جذب بر اساس مدل لانگ‌مایر.

تاریخ دریافت: ۱۲/۱۲/۱۳۹۱ | تاریخ پذیرش: ۱۳۹۱/۱/۱

مراجع

- [۱] بانک اطلاعات کارخانه‌های فرآوری مواد معدنی ایران، پایگاه ملی داده‌های علوم زمین کشور .(www.ngdir.com)
- [۲] فقیهیان، حسین؛ جذب یون سیانید بهوسیله زئولیت Y و فرم‌های اصلاح شده آن، نشریه شیمی و مهندسی شیمی ایران، شماره ۲، ص ۲۵ (۱۳۸۳).
- [۳] Xianwen Dai, Andrew Simons, Paul Breuer, A Review of Copper Cyanide Recovery Technologies for the Cyanidation of Copper Containing Gold Ores, *Minerals Engineering*, **25**(1), p. 1 (2012).
- [۴] Rajesh Roshan Dash, Chandrajit Balomajumder, Arvind Kumar, Removal of Cyanide from Water and Wastewater Using Granular Activated Carbon, *Chemical Engineering Journal*, **146**(3), p. 408 (2009).
- [۵] Morten Larsen, Stefan Trapp, Alessandro Pirandello, Removal of Cyanide by Woody Plants, *Chemosphere*, **54**, p. 325 (2004).
- [۶] Mike Adams, Vincent Lloyd, Cyanide Recovery by Tailings Washing and Pond Stripping, *Minerals Engineering*, **21**(6), p. 501 (2008).
- [۷] Ignacio Rodríguez García, Constructed Wetlands Use for Cyanide and Metal Removal from Gold Mill Effluents, Stockholm (2003).
- [۸] Lucy McCartan, Talc and Pyrophyllite, "Ch. in Mineral Commodity Summaries", published by U.S. Bureau of Mines (1996).
- [۹] www.industrialminerals.com/talc/ What Is Talc
- [۱۰] P. Bacchin, J. P. Bonino, F. Martin, M. Combacau, P. Barthes, S. Petit, J. Ferret, Surface Pre-Coating of Talc Particles by Carboxyl Methyl Cellulose Adsorption: Study of Adsorption and Consequences on Surface Properties and Settling Rate, *Colloids and Surfaces A: Physicochemical and Engineering Aspects*, **272**(3), p. 211 (2006).
- [۱۱] Cawood S.R., Harris P.J., Bradshaw D.J., A Simple Method for Establishing Whether the Adsorption of Polysaccharides on Talc Is a Reversible Process, *Minerals Engineering*, **18**(10), p. 1060 (2005).
- [۱۲] Charnay C., Lagerge S., Partyka S., Assessment of the Surface Heterogeneity of Talc Materials, *Colloid and Interface Science* **233**(2), p. 250 (2001).
- [۱۳] Y.S.HO and G. MCKAY, The Sorption of Lead (II) Ions on Peat, *Wat.Res.*, **33**(2), p. 578 (1999).
- [۱۴] Herley Casanova, José A. Orrego, Julian Zapata, Oil Absorption of Talc Minerals and Dispersant Demand of Talc Mineral Non-Aqueous Dispersions as a Function of Talc Content: *Colloids and Surfaces A: Physicochemical and Engineering Aspects*, **299**(1–3), p. 38 (2007).
- [۱۵] Minna P. Koivula, Kauko Kujala, Hannu Rönkkölä, Mauri Mäkelä, Sorption of Pb(II), Cr(III), Cu(II), As(III) to Peat, and Utilization of the Sorption Properties in Industrial Waste Landfill Hydraulic Barrier Layers, *Journal of Hazardous Materials*, **164**(1), p. 345 (2009).